



## СТРУКТУРА ПРОСТРАНСТВА УПРАВЛЯЮЩИХ ПАРАМЕТРОВ МОДЕЛИ НЕЛИНЕЙНОГО ОСЦИЛЛЯТОРА ПРИ ДВУХЧАСТОТНОМ ВОЗДЕЙСТВИИ

*Е.П. Селезнев, А.М. Захаревич*

Численно исследуется многообразие резонансных циклов дискретной модели нелинейного осциллятора при двухчастотном воздействии с рациональным соотношением частот, подчиняющимся последовательности чисел Фибоначчи. Дана классификация циклов, прослежена эволюция структуры плоскости управляющих параметров в зависимости от соотношения частот.

В последние годы изучение систем, находящихся под квазипериодическим воздействием, привлекает к себе внимание в связи с изучением странных нехаотических аттракторов (СНА) [1-7]. Однако их исследование, особенно в физическом эксперименте, сопряжено с рядом трудностей, в частности, с нахождением области существования в пространстве управляющих параметров и определением бифуркаций, которые они претерпевают. В [5] предложен, а в [6,7] экспериментально апробирован метод перехода к странному нехаотическому аттрактору в нелинейном осцилляторе при двухчастотном воздействии, основанный на бифуркации резонансных циклов, чьи числа вращения принадлежат последовательности чисел Фибоначчи и в пределе стремятся к “золотому сечению”. В связи с этим возникает задача классификации многообразия резонансных движений, исследования их динамики и эволюции структуры плоскости управляющих параметров при последовательном изменении соотношения частот внешнего воздействия. В данной работе эта задача решается численно на примере отображения вида

$$\begin{cases} x_{n+1} = \lambda - x_n^2 + \varepsilon \sin 2\pi y_n \\ y_{n+1} = y_n + \omega \pmod{1}, \end{cases} \quad (1)$$

где  $x_n, y_n$  - динамические переменные,  $\lambda$  и  $\varepsilon$  - управляющие параметры,  $\omega$  - характеризует соотношение частот внешнего воздействия.

При рациональных значениях параметра  $\omega = k/m$  (где  $k$  и  $m$  - целые числа) система (1) демонстрирует многообразие резонансных циклов, которые с изменением параметров  $\lambda$  и  $\varepsilon$  эволюционируют к хаосу через последовательность бифуркаций удвоения периода.

Анализ фазовых портретов показывает, что для исследования и классификации циклов удобно использовать их стробоскопические сечения с периодом  $1/\omega$ . Такой подход позволяет сформулировать общий принцип классификации циклов системы (1): при  $\varepsilon=0$  каждый цикл периода  $N$  может быть реализован  $m$  способами (где  $m$  известно из соотношения  $\omega=k/m$  и соответствует наименьшему периоду цикла системы (1)), определяемыми фазой воздействия  $y_n$ . В силу того, что  $y_n$  принимает дискретные значения, в соответствии с данным принципом классификации при  $\varepsilon=0$  циклы системы (1) отличаются сдвигом между значениями  $y$ , аналогично [8].

На рис. 1 на плоскости параметров  $(\lambda, \varepsilon)$  приведены линии бифуркаций циклов при  $\omega=1/2$ . Светлые области соответствуют периодическим режимам, серые – хаотическим, тонкими сплошными обозначены линии бифуркаций удвоения периода (мультипликатор циклов на них обращается в  $-1$ ), жирными – седлоузловые бифуркации (мультипликатор циклов на них обращается в  $+1$ ),  $l_0$

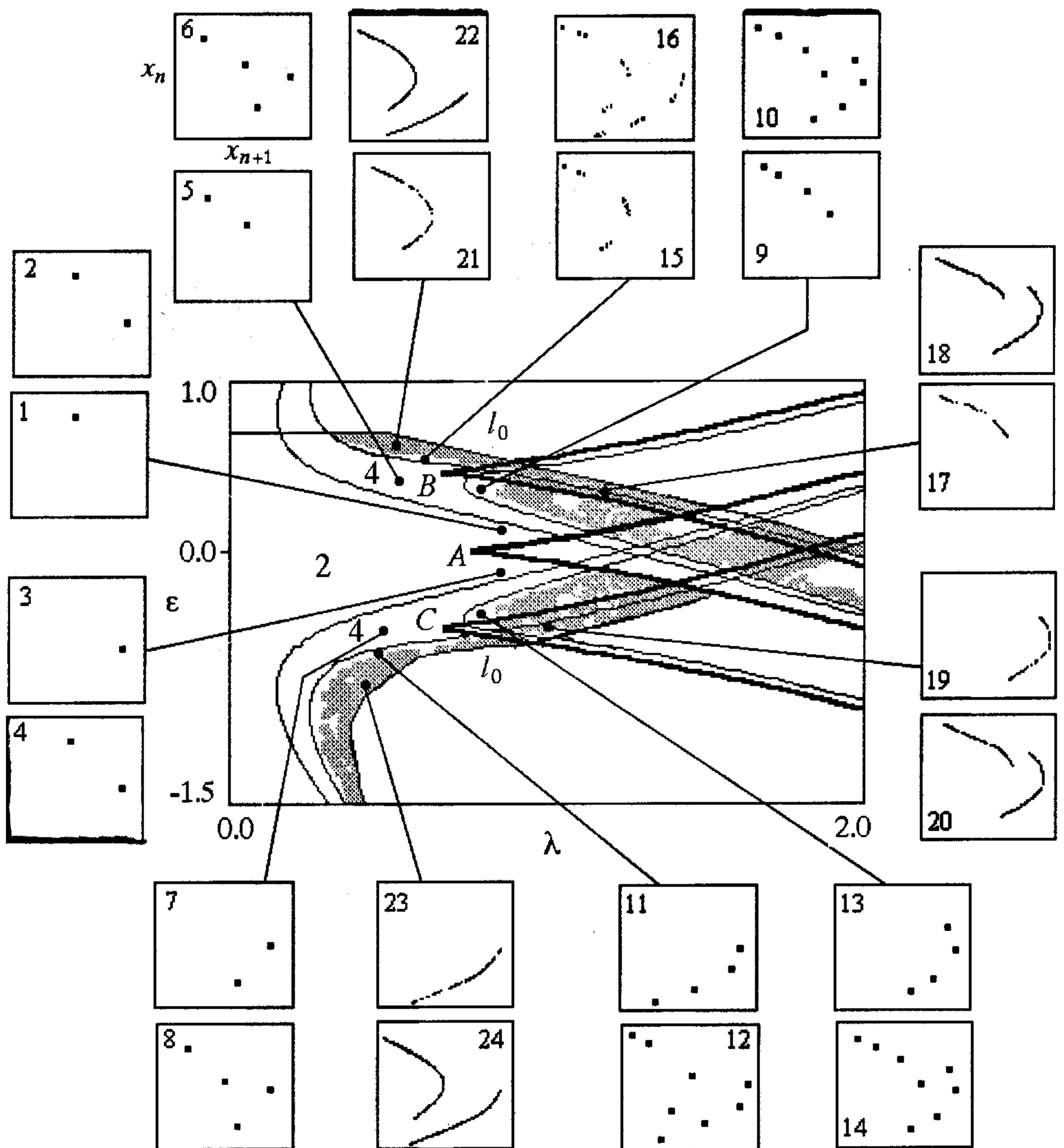


Рис. 1. Структура плоскости управляющих параметров  $(\lambda, \varepsilon)$  при значении  $\omega=1/2$

отмечена линия, за пределами которой система с нулевых начальных условий убегает на бесконечность. В выделенных фрагментах на плоскости  $(x_{n+1}, x_n)$  представлены фазовые портреты циклов и их сечения Пуанкаре при фазе стробирования  $y=0$ . Плоскость параметров изобилует структурами типа «crossroad», на ней имеется сборка  $A$  с координатами  $(0.75, 0)$ , линии складки которой ограничивают области существования двух базовых циклов периода  $m=2$ . Фрагменты 1, 2 и 3, 4 иллюстрируют фазовые портреты и стробоскопические сечения этих циклов при значениях параметров  $\lambda=0.9, \epsilon=0.1$  и  $\lambda=0.9, \epsilon=-0.1$ , соответственно. Циклы имеют одинаковые фазовые портреты и отличить их можно только по сечениям Пуанкаре. С изменением управляющих параметров каждый из этих циклов демонстрирует удвоения периода. В области существования циклов удвоенного периода имеются сборки  $B$  и  $C$ , а общее количество циклов равно уже 4 (фрагменты 5–12 на рис.1). Следует отметить, что стробоскопические сечения их фазовых портретов напоминают противофазные циклы в связанных квадратичных отображениях [8].

В случае  $\omega=2/3$  количество сборок и бифуркационных структур типа «crossroad» на плоскости параметров увеличивается (рис. 2). Здесь имеется три

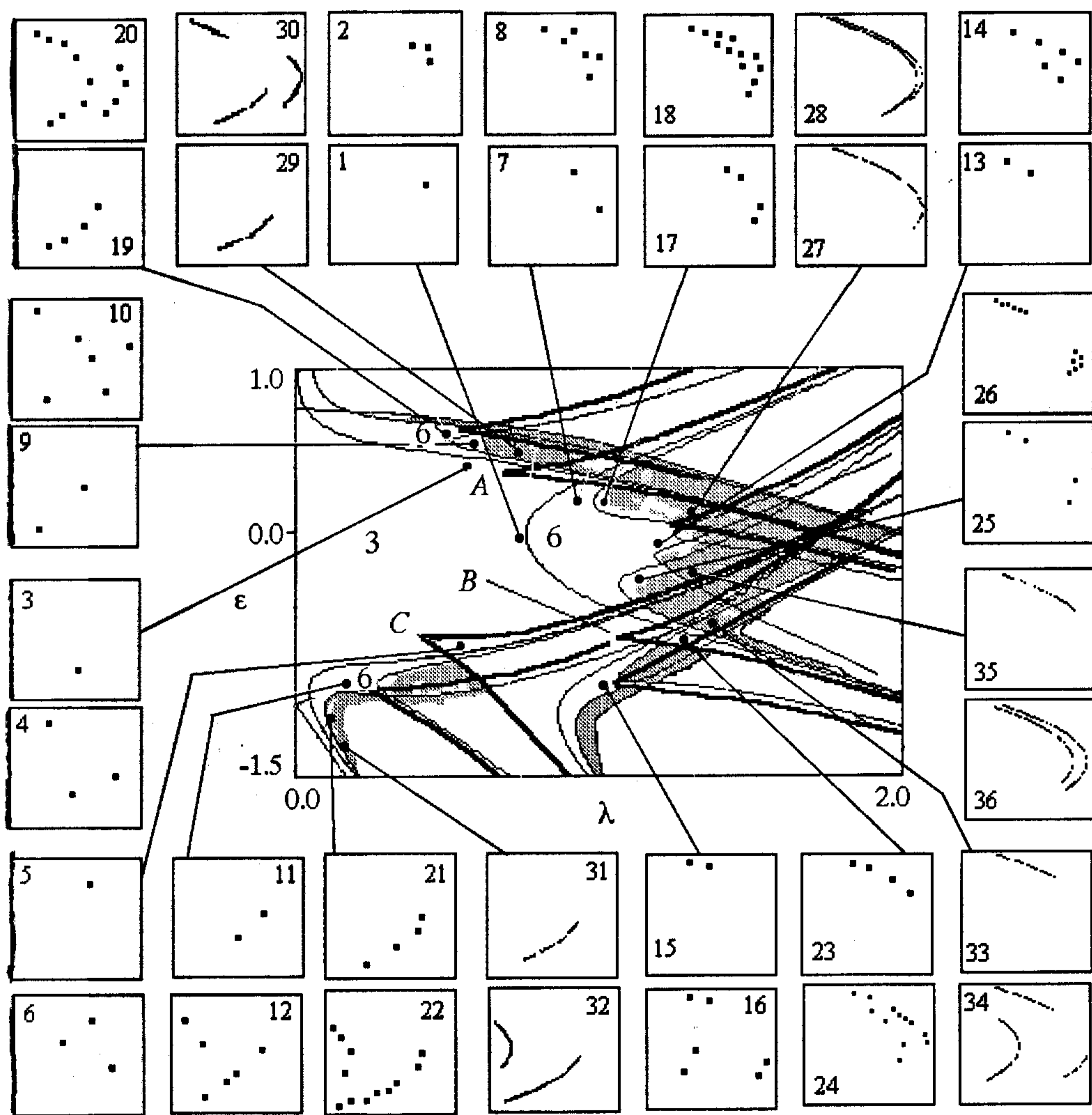


Рис. 2. Структура плоскости управляющих параметров  $(\lambda, \epsilon)$  при значении  $\omega=2/3$

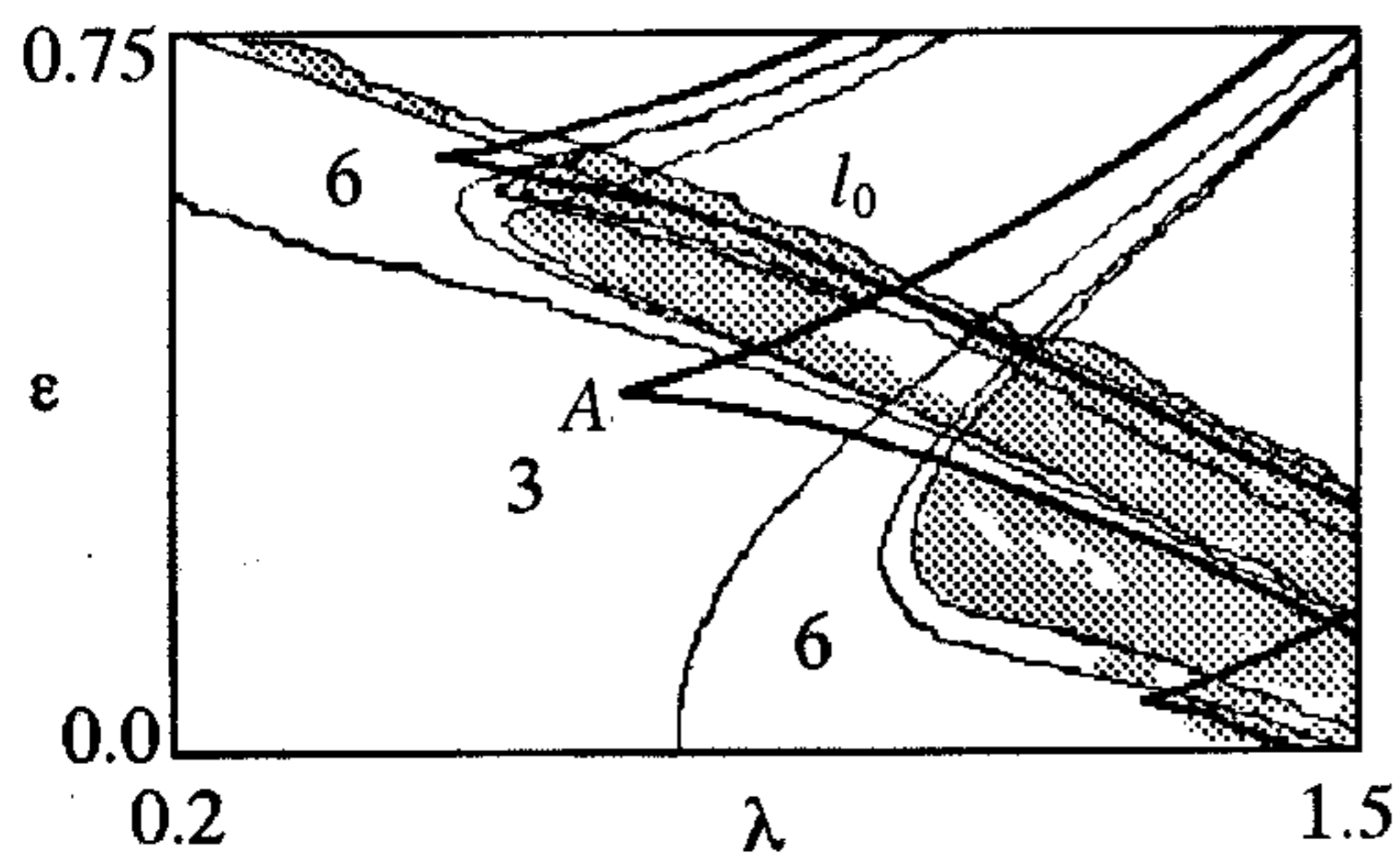


Рис. 3. Увеличенный фрагмент рис. 2

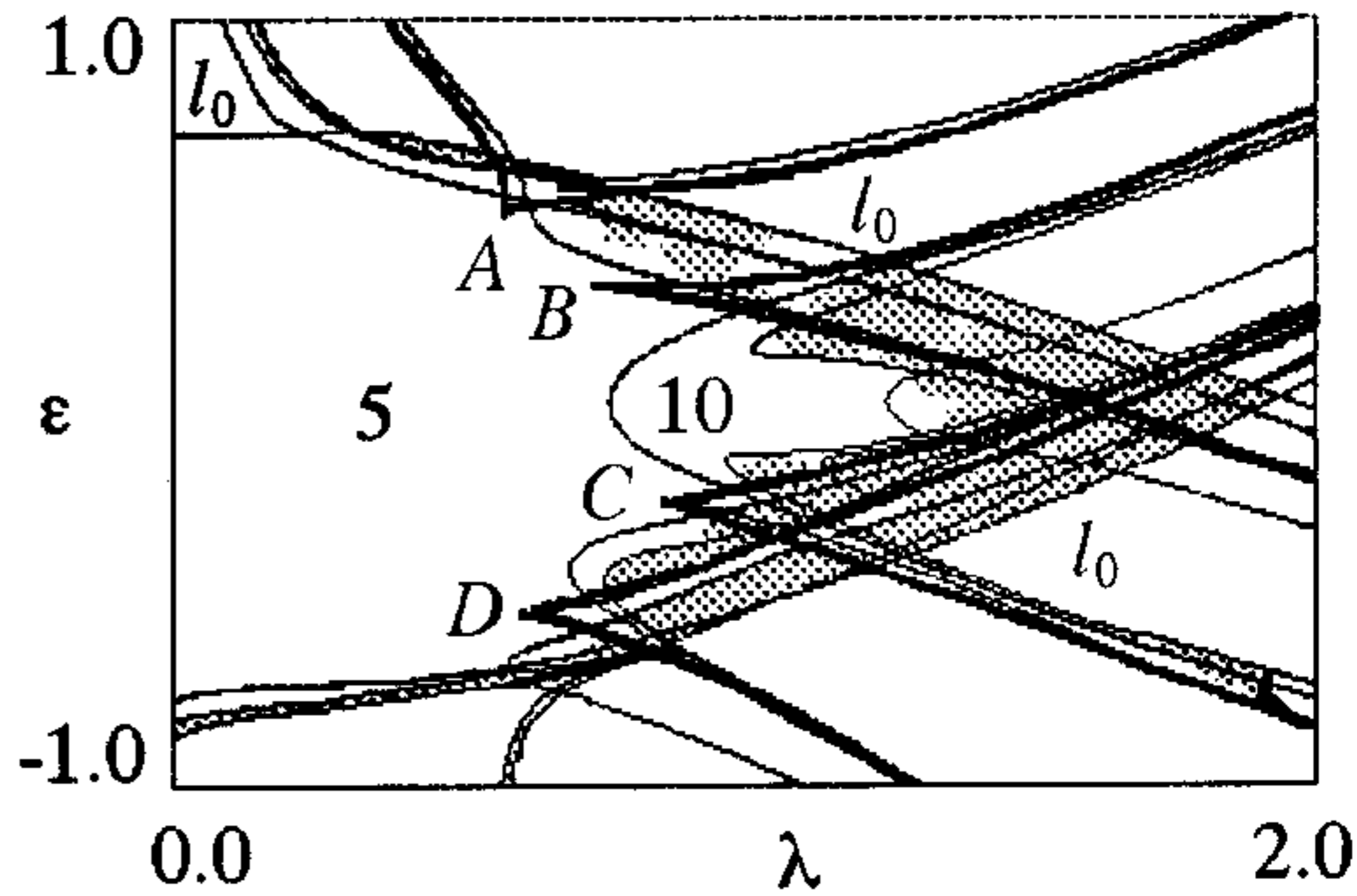


Рис. 4. Структура плоскости управляющих параметров  $(\lambda, \epsilon)$  при значении  $\omega=3/5$

сборки  $A, B, C$ , линии складки которых ограничивают области существования трех базовых циклов периода 3 (фрагменты 1–6). С изменением параметров эти циклы эволюционируют к хаосу через последовательность удвоений периода, при этом в результате удвоения на базе каждого формируется пара циклов – синфазный и несинфазный (фрагменты 7–16 на рис.2). Стробоскопическое сечение синфазного цикла располагается вдоль диагонали фазовой плоскости (фрагменты 9–12), а противофазного – трансверсально (фрагменты 7, 8 и 13–16). С изменением параметров циклы эволюционируют к хаосу через последовательность удвоений периода, а в итоге на базе каждого цикла формируется  $m$ -связный хаотический аттрактор. Рис. 3 иллюстрирует увеличенный фрагмент плоскости параметров при  $\omega=2/3$ . Из рис. 3 видно, что внутри областей существования циклов удвоенного периода имеются структуры типа «crossroad», внутри областей циклов более высокого порядка также формируются структуры типа «crossroad», и такая последовательность наблюдается вплоть до перехода к хаосу.

С дальнейшим изменением параметра  $\omega$  количество базовых циклов растет, плоскость параметров  $(\lambda, \epsilon)$  становится более изрезанной, количество структур типа «crossroad» на ней увеличивается. Рис. 4 иллюстрирует структуру плоскости управляющих параметров  $(\lambda, \epsilon)$  для  $\omega=3/5$ .

Сопоставление рис. 1–4, а также численные исследования для других значений  $\omega$  показывают, что при нечетных значениях  $m$  для бифуркационных линий, проходящих через точку  $\lambda=0.75, \epsilon=0$ , сохраняется (по сравнению с квадратичным отображением) значение мультипликатора, равное  $-1$  (см. рис. 2, 3). При четных знаменателях  $m$  значение мультипликатора цикла в этой точке равно  $+1$ , для  $m=2$  эта точка является точкой сборки, на складках которой происходят седло–узловые бифуркации (см. рис. 1), а для других четных значений наблюдается бифуркация потери симметрии, последнее связано с симметрией циклов для четных значений  $m$  относительно вращения [9].

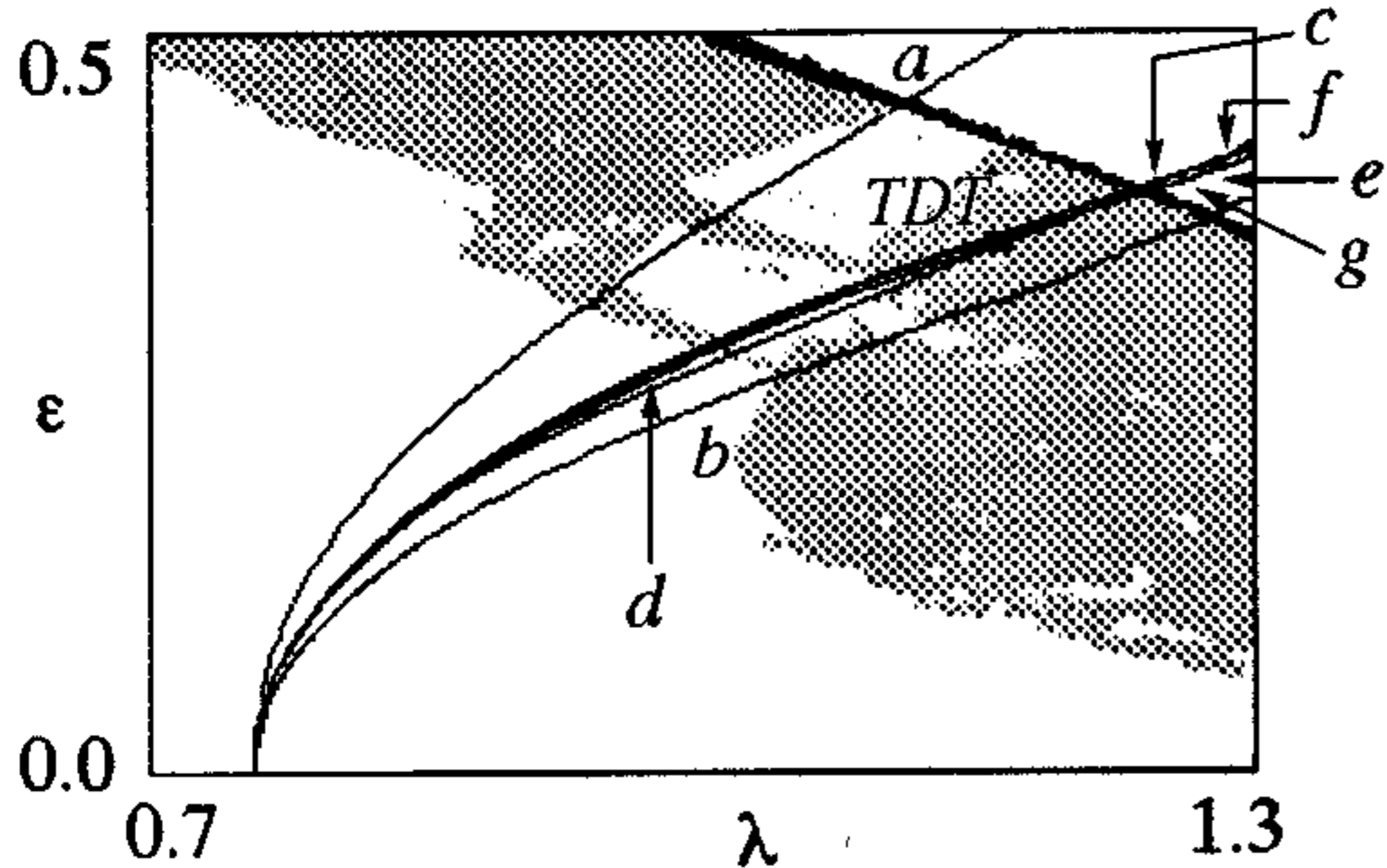


Рис. 5. Сходимость линий бифуркации удвоения периода и потери симметрии (для  $\omega=5/8, 21/34$ ) при изменении частоты воздействия: кривая  $a$  соответствует  $\omega=2/3$ ,  $b - \omega=3/5$ ,  $c - \omega=5/8$ ,  $d - \omega=8/13$ ,  $e - \omega=13/21$ ,  $f - \omega=21/34$ ,  $g - \omega=34/55$ . Точка  $TDT$  соответствует терминальной точке при  $\omega=(5^{1/2}-1)/2$

Таким образом, при рациональных значениях  $\omega$  для многообразия циклов системы справедлив принцип, предложенный для связанных систем с удвоением периода, основанный на

временном сдвиге (или сдвиге фаз) колебаний в подсистемах. С приближением параметра  $\omega$  к «золотому сечению»  $\omega=(5^{1/2}-1)/2$  количество циклов увеличивается. Соответственно, на плоскости параметров растет множество областей типа «crossroad»; граница перехода к хаосу для каждого цикла остается гладкой, однако в целом плоскость параметров имеет сложную многолистную структуру. Такая последовательность изменений объясняет сложный, изрезанный вид границы перехода к хаосу для иррационального значения  $\omega$ . При этом линия бифуркации удвоения периода одного из базовых (периода  $m$ ) циклов, а также линия потери симметрии, проходящие через точку плоскости параметров  $\lambda=0.75$ ,  $\varepsilon=0$ , в пределе стремятся к линии бифуркации удвоения тора, что иллюстрирует рис. 5.

*Работа выполнена при поддержке Российского фонда фундаментальных исследований, грант № 99–02–17735, при поддержке U.S. Civilian Research Development Foundation for the Independent States of the Former Soviet Union, Award № REC–006 и Федеральной Программы «Интеграция», грант № 696.3*

### **Библиографический список**

1. Grebogi C., Ott E., Pelikan S., Yorke J.A. // *Physica D*. 1984. Vol. 13. P. 261.
2. Feudel U., Kurths J., Pikovsky A. // *Physica D*. 1995. Vol. 88. P. 176.
3. Kuznetsov S., Pikovsky A., Feudel U. // *Phys. Rev. E*. 1995. Vol. 51. R 1629.
4. Anishchenko V.S., Vadivasova T.E., Sosnovtseva O.N. // *Phys. Rev. E*. 1996. Vol. 53. P. 4451.
5. Kuznetsov S., Pikovsky A., Feudel U. // *Phys. Rev. E*. 1998. Vol. 57. P.1585.
6. Безручко Б.П., Кузнецов С.П., Пиковский А.С., Селезнев Е.П., Фойдель У. // *Изв. вузов. Прикладная нелинейная динамика*. 1997. Т. 5, №6. С. 3.
7. Bezruchko V.P., Kuznetsov S.P., Seleznev Ye.P. // *Phys. Rev. E*. 2000. Vol. 62, №6. P. 7828.
8. Астахов В.В., Безручко Б.П., Ерастова Е.Н., Селезнев Е.П. // *ЖТФ*. 1990. Т. 60, №10. С.19.
9. Krupa M., Roberts M. // *Physica D*. 1992. Vol. 57. P. 417.

*Саратовское отделение  
Института радиотехники и  
электроники РАН,  
Саратовский государственный  
университет*

*Поступила в редакцию 18.01.2001*

## **STRUCTURE OF THE CONTROL PARAMETERS SPACE IN THE MODEL OF THE NONLINEAR OSCILLATOR UNDER TWO-FREQUENCY DRIVING**

*Ye.P. Seleznev, A.M. Zakharevich*

Manifold of resonance cycles of the discrete model of nonlinear oscillator under two-frequency external force with rational frequency ratio is investigated numerically. Classification of cycles is down and dependence of structure evolution of the control parameter plane from frequency ratio is investigated.